



caruso & oguri

O principal objetivo do texto é apresentar a transição da Termodinâmica para a Mecânica Estatística a alunos de graduação, tanto dos cursos de Física como de áreas afins, como as Engenharias e a Química.

As investigações de Clausius e Maxwell, ao final do século XIX, sobre o comportamento de sistemas macroscópicos compostos por moléculas ou partículas – os gases moleculares – e, posteriormente, os trabalhos de Boltzmann e Gibbs, sem hipóteses ou modelos teóricos explícitos sobre as interações entre as partículas constituintes de um sistema, originaram uma descrição estatística dos sistemas gasosos constituídos por muitas partículas: a Mecânica Estatística.

Após uma breve revisão de alguns elementos da teoria de probabilidades e dos principais conceitos e leis da Termodinâmica, ressaltando-se aqueles como entropia, calor específico e potencial químico, mostra-se o limite que se pode alcançar, aliando-se a Termodinâmica à hipótese atômica da matéria e ao comportamento quântico das partículas.

Depois dos três primeiros capítulos introdutórios, a partir da definição de entropia de Boltzmann, são deduzidas as distribuições especiais de Maxwell-Boltzmann, Planck, Fermi-Dirac e Bose-Einstein e, então, as propriedades dos gases ideais são formalmente estabelecidas.

Utilizando-se do método dos ensembles de Gibbs, são apresentados, ainda, os principais fenômenos e sistemas abordados nos cursos de graduação como o paramagnetismo em cristais e a radiação de corpo negro, além dos sistemas degenerados de férmions relativísticos em uma estrela anã branca e os bósons massivos não relativísticos na condensação de Bose-Einstein.

O livro se encerra com uma breve introdução aos métodos avançados de abordagem da Mecânica Estatística, como os de Jaynes e de Neumann-Landau.

Os autores

mecânica estatística de sistemas em equilíbrio

caruso & oguri



mecânica estatística de sistemas em equilíbrio



Sumário

| | |
|--|------------|
| Prefácio | vii |
| 1 Introdução | 1 |
| 1.1 Necessidade e acaso | 1 |
| 1.2 O papel da Teoria Cinética dos Gases | 3 |
| 1.3 A Termodinâmica e os processos reversíveis e irreversíveis | 5 |
| 1.4 A Mecânica Quântica e o conceito de energia | 7 |
| 2 Elementos da teoria de probabilidades | 11 |
| 2.1 Probabilidades <i>a priori</i> | 12 |
| 2.2 Probabilidades <i>a posteriori</i> e distribuições | 14 |
| 2.3 Exercícios | 22 |
| 3 Elementos de Termodinâmica | 25 |
| 3.1 Variáveis e equações de estado | 25 |
| 3.1.1 Equação de Clapeyron | 27 |
| 3.1.2 A lei de Curie | 27 |
| 3.1.3 Trabalho magnético | 28 |
| 3.1.4 Propriedades extensivas e intensivas | 31 |
| 3.2 1ª e 2ª leis da Termodinâmica para sistemas fechados | 32 |
| 3.3 Entropia e irreversibilidade | 36 |
| 3.3.1 Entropia em transições de fase | 37 |
| 3.3.2 Entropia em uma expansão livre | 38 |
| 3.4 Calores específicos dos sólidos e dos gases | 40 |
| 3.5 Potenciais químicos e termodinâmicos | 45 |
| 3.6 3ª lei da Termodinâmica | 48 |
| 3.7 Entropia e potencial químico de um gás ideal monoatômico | 49 |
| 3.8 Entropia da radiação de corpo negro | 56 |
| 3.9 Exercícios | 60 |

| | | |
|----------|---|------------|
| 4 | Gases ideais não degenerados e degenerados | 63 |
| 4.1 | Limites dos gases ideais | 63 |
| 4.2 | Densidade de estados | 64 |
| 4.3 | Gases ideais não degenerados | 67 |
| 4.4 | Temperaturas de degenerescência | 68 |
| 4.5 | Gases ideais degenerados | 70 |
| 4.5.1 | Férmions não relativísticos fortemente degenerados | 71 |
| 4.5.2 | Bósons não massivos fortemente degenerados | 72 |
| 4.5.3 | Calor específico dos sólidos cristalinos | 74 |
| 4.5.4 | Gás de fótons | 76 |
| 4.5.5 | Bósons massivos não relativísticos fortemente degenerados | 77 |
| 4.5.6 | Condensação de Bose-Einstein | 78 |
| 4.6 | Exercícios | 82 |
| 5 | Método combinatorial de Boltzmann | 85 |
| 5.1 | Conceito estatístico de entropia e temperatura | 88 |
| 5.2 | Entropia e 2ª lei da Termodinâmica | 90 |
| 5.3 | Gás ideal não degenerado | 91 |
| 5.4 | Gás de <i>spins</i> 1/2 | 93 |
| 5.5 | Temperaturas negativas | 97 |
| 5.6 | Princípio da máxima entropia | 99 |
| 5.7 | Distribuições de Maxwell-Boltzmann, Fermi-Dirac, Bose-Einstein e Planck | 102 |
| 5.8 | Gases ideais degenerados de férmions não relativísticos | 109 |
| 5.9 | Gases ideais degenerados de bósons massivos não relativísticos | 113 |
| 5.9.1 | Gás de bósons fortemente degenerado | 115 |
| 5.9.2 | Gás de bósons levemente degenerado | 116 |
| 5.10 | Exercícios | 119 |
| 6 | Método dos <i>ensembles</i> de Gibbs | 121 |
| 6.1 | Distribuição microcanônica | 124 |
| 6.2 | Distribuição canônica | 125 |
| 6.3 | Propriedades da distribuição canônica | 127 |
| 6.3.1 | Função de partição canônica | 129 |
| 6.3.2 | Aproximação clássica | 130 |
| 6.3.3 | Analogia termodinâmica de Gibbs | 132 |
| 6.3.4 | Funções termodinâmicas | 133 |
| 6.4 | Paramagnetismo em um cristal | 135 |
| 6.4.1 | Calor específico magnético | 138 |
| 6.4.2 | Efeito Schottky | 139 |
| 6.5 | Polarização de dielétricos polares | 140 |
| 6.6 | Sólidos cristalinos | 144 |
| 6.6.1 | Problema do calor específico | 145 |
| 6.6.2 | Modelo de Einstein | 146 |

| | | |
|----------|--|------------|
| 6.6.3 | Modelo de Debye | 148 |
| 6.6.4 | Conceito de fônon e distribuição de Planck | 153 |
| 6.6.5 | Calor específico dos metais | 156 |
| 6.6.6 | Conceito de quase-partícula | 157 |
| 6.7 | Radiação de corpo negro e distribuição de Planck | 160 |
| 6.8 | Gases ideais moleculares | 164 |
| 6.8.1 | Função de partição translacional | 164 |
| 6.8.2 | Função de partição vibracional para moléculas diatômicas | 167 |
| 6.8.3 | Função de partição rotacional para moléculas diatômicas | 168 |
| 6.8.3.1 | Moléculas diatômicas heteronucleares | 169 |
| 6.8.3.2 | Moléculas diatômicas homonucleares | 171 |
| 6.8.3.3 | Moléculas poliatômicas | 174 |
| 6.9 | Flutuações e conexão entre as distribuições canônica e microcanônica | 175 |
| 6.10 | Distribuição gran-canônica | 178 |
| 6.10.1 | Analogia termodinâmica de Gibbs | 182 |
| 6.10.2 | Funções termodinâmicas | 183 |
| 6.10.3 | Flutuações e conexão entre as distribuições gran-canônica e canônica | 184 |
| 6.10.4 | Distribuições de Fermi-Dirac e Bose-Einstein | 185 |
| 6.11 | Estrelas anãs brancas | 188 |
| 6.12 | Exercícios | 192 |
| 6.13 | Outros métodos | 197 |
| 6.13.1 | Método de Jaynes | 197 |
| 6.13.2 | Formulação de von Neumann-Landau | 201 |
| A | Tópicos sobre Termodinâmica | 209 |
| A.1 | Teorema de Carnot e desigualdade de Clausius | 209 |
| A.2 | Potenciais termodinâmicos | 214 |
| B | Funções especiais | 217 |
| B.1 | Função gama | 217 |
| B.2 | Fórmula de Stirling | 219 |
| B.3 | Volume da esfera em D dimensões | 221 |
| B.4 | Função zeta de Riemann | 222 |
| B.5 | Fórmula de Euler-Maclaurin | 226 |
| C | Densidade de estados | 231 |
| C.1 | Densidade de estados de Rayleigh | 231 |
| D | Método de Darwin-Fowler | 235 |
| D.1 | Método de Darwin-Fowler para gases degenerados | 235 |
| | Referências Bibliográficas | 239 |

2.3 Exercícios

2.3.1. A tabela a seguir mostra os resultados de 120 000 lançamentos de um dado. Nessa tabela, n_i representa a frequência de ocorrências da respectiva face (i).

| face (i) | frequência (n_i) | P_i |
|----------|----------------------|---------|
| 1 | 20 108 | n_1/N |
| 2 | 19 854 | n_2/N |
| 3 | 19 859 | n_3/N |
| 4 | 20 149 | n_4/N |
| 5 | 20 036 | n_5/N |
| 6 | 19 994 | n_6/N |

$P_i = 1/6 \quad (i=1, 2, \dots, 6)$

$N = \sum_{i=1}^6 n_i = 120.000$

Determine:

- a) o valor médio dos resultados; (Resposta: 3,501) $\bar{x} = \frac{\sum_{i=1}^6 i \cdot P_i}{\sum_{i=1}^6 P_i}$
- b) o desvio padrão dos resultados; (1,708) $\bar{x}^2 = \sum_{i=1}^6 i^2 P_i \Rightarrow \sigma_x = \sqrt{\bar{x}^2 - \bar{x}^2}$
- c) os valores esperados desses parâmetros. (3,5 e 1,71) $\mu = \sum_{i=1}^6 i \cdot P_i \quad \langle x^2 \rangle = \sum_{i=1}^6 i^2 P_i$
 $\sigma = \sqrt{\langle x^2 \rangle - \langle x \rangle^2}$

2.3.2. As posições de uma partícula confinada ao longo de uma reta na direção x , entre os pontos $x = 0$ e $x = a$ distribuem-se segundo uma densidade de probabilidade proporcional a $\sin^2 \frac{2\pi}{a} x$.

- a) Normalize a densidade de probabilidade de presença da partícula. $\left(\frac{2}{a}\right)$
- b) Determine o valor médio e o desvio padrão (incerteza) associados à posição da partícula. $\left(\frac{a}{2} \text{ e } \frac{a}{2\sqrt{3}} \sqrt{1 + \frac{6}{\pi^2}}\right)$

2.3.3. As posições de uma partícula ao longo de uma direção x obedecem a seguinte distribuição uniforme (ρ):

$$\rho(x) = \begin{cases} 0 & x < 0 \\ A & 0 \leq x \leq 1 \\ 0 & x > 1 \end{cases}$$

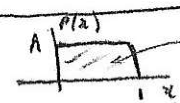
2.3.2. $\rho(x) = A \sin^2 \frac{2\pi}{a} x \quad (0 \leq x \leq a)$

a) $\int_0^a \rho(x) dx = A \int_0^a \sin^2 \frac{2\pi}{a} x dx = 1 = \frac{A}{2} \left[\int_0^a dx - \int_0^a \frac{\cos 2\pi x}{a} dx \right] \Rightarrow A = \frac{2}{a}$

b) $\langle x \rangle = \int_0^a x \rho(x) dx = A \int_0^a x \sin^2 \frac{2\pi}{a} x dx = \frac{A}{2} \left[\int_0^a x dx - \int_0^a x \frac{\cos 2\pi x}{a} dx \right]$
 $= \frac{A}{2} \left[\frac{a^2}{2} - \frac{a}{2\pi} x \sin \frac{2\pi x}{a} + \frac{a}{2\pi} \int_0^a \sin \frac{2\pi x}{a} dx \right] = \frac{a}{2}$

$\langle x^2 \rangle = \int_0^a x^2 \rho(x) dx = A \int_0^a x^2 \sin^2 \frac{2\pi}{a} x dx = \frac{A}{2} \left[\int_0^a x^2 dx - \int_0^a x^2 \frac{\cos 2\pi x}{a} dx \right]$
 $= \frac{1}{a} \left(\frac{a^3}{3} + \frac{a^3}{2\pi^2} \right) = \frac{a^2}{3} + \frac{a^2}{2\pi^2}$

$\sigma_x^2 = \langle x^2 \rangle - \langle x \rangle^2 = \frac{a^2}{3} + \frac{a^2}{2\pi^2} - \frac{a^2}{4} = a^2 \left(\frac{1}{12} + \frac{1}{2\pi^2} \right)$
 $\sigma_x = \frac{a}{\sqrt{12}} \sqrt{1 + \frac{6}{\pi^2}}$

2.3.3. $\rho(x) = \begin{cases} 0 & x < 0 \\ A & 0 \leq x \leq 1 \\ 0 & x > 1 \end{cases}$  $\int_{-\infty}^{\infty} \rho(x) dx = A = 1$

b) $\langle x \rangle = \int_{-\infty}^{\infty} x \rho(x) dx = \int_0^1 x dx = \frac{x^2}{2} \Big|_0^1 = \frac{1}{2}$ $\langle x^2 \rangle = \int_{-\infty}^{\infty} x^2 \rho(x) dx = \int_0^1 x^2 dx = \frac{x^3}{3} \Big|_0^1 = \frac{1}{3}$

$\sigma_x^2 = \langle x^2 \rangle - \langle x \rangle^2 = \frac{1}{3} - \frac{1}{4} = \frac{1}{12} \Rightarrow \sigma_x = \frac{1}{\sqrt{12}}$

2.3.4. $\rho(v_i) = a e^{-\frac{1}{2} m_i v_i^2 / kT} \quad (i=1, 2, 3) \quad (-\infty < v_i < \infty)$

a) $\langle v_i \rangle = \int_{-\infty}^{\infty} v_i \rho(v_i) dv_i = 0$ $\sqrt{\frac{kT}{m}} = \sqrt{\pi} \alpha^{-1/2}$

b) $\int_{-\infty}^{\infty} \rho(v_i) dv_i = a \int_{-\infty}^{\infty} e^{-\frac{1}{2} m v_i^2 / kT} dv_i = 1 = a \int_{-\infty}^{\infty} e^{-\alpha v_i^2} dv_i \quad (\alpha = \frac{m}{2kT})$
 $a = \frac{\sqrt{\alpha}}{\sqrt{\pi}} = \frac{\sqrt{m}}{\sqrt{2\pi kT}}$

c) $\langle \epsilon_i \rangle = \left\langle \frac{1}{2} m v_i^2 \right\rangle + \left\langle \frac{1}{2} m v_i^2 \right\rangle + \left\langle \frac{1}{2} m v_i^2 \right\rangle = \frac{3}{2} m \langle v_i^2 \rangle$

$\langle v_i^2 \rangle = a \int_{-\infty}^{\infty} v_i^2 \rho(v_i) dv_i = \frac{\sqrt{\alpha}}{\sqrt{\pi}} \int_{-\infty}^{\infty} v_i^2 e^{-\alpha v_i^2} dv_i = \frac{\alpha^{-1}}{2} = \frac{1}{2\alpha}$
 $\frac{\sqrt{\alpha}}{2} \alpha^{-3/2}$

$\langle \epsilon_i \rangle = \frac{3}{2} \frac{m}{2\alpha} = \frac{3}{2} kT$

2.3.5. a) $\rho(z) = a e^{-mgz/kT} = a e^{-\alpha z} \quad (\alpha = mg/kT) \quad (0 \leq z < \infty)$
 $E_p = mgz \Rightarrow \langle E_p \rangle = mg \langle z \rangle$

normalizaçao $\int_0^{\infty} \rho(z) dz = a \int_0^{\infty} e^{-\alpha z} dz = 1 \Rightarrow a = \alpha = \frac{mg}{kT}$

$\langle z \rangle = \int_0^{\infty} z \rho(z) dz = a \int_0^{\infty} z e^{-\alpha z} dz = \frac{1}{\alpha^2} = \frac{kT}{mg} \Rightarrow \langle E_p \rangle = kT$

b) $\langle z^2 \rangle = \int_0^{\infty} z^2 \rho(z) dz = a \int_0^{\infty} z^2 e^{-\alpha z} dz = 2\alpha^{-2}$

$(\Delta z)^2 = \langle z^2 \rangle - \langle z \rangle^2 = 2\alpha^{-2} - \alpha^{-2} = \alpha^{-2} \Rightarrow \Delta z = \frac{1}{\alpha} = \frac{kT}{mg}$

2.3.6. $\rho(x) = A e^{-\epsilon_p/kT} \quad (-\infty < x < \infty)$

$\epsilon_p = \frac{1}{2} m \omega_0^2 x^2 \Rightarrow \langle \epsilon_p \rangle = \frac{1}{2} m \omega_0^2 \langle x^2 \rangle$

normalizaçao $\int_{-\infty}^{\infty} \rho(x) dx = A \int_{-\infty}^{\infty} e^{-\frac{1}{2} \frac{m\omega_0^2}{kT} x^2} dx = 1 \Rightarrow A = \sqrt{\frac{\alpha}{\pi}} = \sqrt{\frac{m\omega_0^2}{2\pi kT}}$

$\langle x^2 \rangle = A \int_{-\infty}^{\infty} x^2 e^{-\alpha x^2} dx = \frac{1}{2} \frac{1}{\alpha} = \frac{1}{2\alpha} \Rightarrow \epsilon_p = kT \alpha \frac{1}{2\alpha} = \frac{kT}{2}$

2.3.7. $\rho(v) = A v^2 e^{-\frac{1}{2} \frac{mv^2}{kT}} \quad (0 \leq v < \infty)$

a) $\frac{d\rho}{dv} = (2v - 2\alpha v^3) e^{-\alpha v^2} = 0 \Rightarrow v_{\text{modal}} = \frac{1}{\alpha} = \sqrt{\frac{2kT}{m}}$

b) $\int_0^{\infty} \rho(v) dv = A \int_0^{\infty} v^2 e^{-\alpha v^2} dv = 1 \Rightarrow A = \frac{2^2}{\sqrt{\pi}} \alpha^{3/2} = \sqrt{\frac{2}{\pi}} \left(\frac{m}{kT}\right)^{3/2}$

c) $\langle v \rangle = \int_0^{\infty} v \rho(v) dv = A \int_0^{\infty} v^3 e^{-\alpha v^2} dv = \frac{2}{\sqrt{\pi} \alpha} = 2 \sqrt{\frac{kT}{\pi m}} = \sqrt{\frac{8kT}{\pi m}}$

d) $\langle v^2 \rangle = \int_0^{\infty} v^2 \rho(v) dv = A \int_0^{\infty} v^4 e^{-\alpha v^2} dv = \frac{3}{2\alpha} = \frac{3kT}{m}$

3.9 Exercícios

3.9.1. Estime a variação da entropia de 1 mol de átomos de prata ao ser aquecido de 0°C a 30°C ($c_v = 6,09 \text{ cal.mol}^{-1}.\text{°C}^{-1}$) (0,635 cal/K).

3.9.2. Um corpo de capacidade térmica a pressão constante (C_p) e temperatura T_i é colocado em contato com uma fonte térmica à temperatura T_f ($T_f \neq T_i$). Determine a variação total da entropia do sistema (corpo + fonte), e mostre que ela é positiva.

3.9.3. Um quilograma de água ($c_p = 4,18 \text{ J.g}^{-1}.\text{K}^{-1}$) a 0°C é colocado em contato com uma fonte térmica a temperatura igual a 100°C. Quando a água atingir a temperatura da fonte, determine:

- a) a variação da entropia da água; (1304 J/K)
- b) a variação da entropia do sistema (água + fonte); (184 J/K)
- c) um maneira pela qual a variação da entropia do sistema seja nula.

3.9.4. Explique como os pesos atômicos foram corrigidos com a lei de Dulong-Petit.

3.9.5. O calor específico molar (c) do ouro a baixas temperaturas ($T < 10 \text{ K}$) varia com a temperatura segundo

$$T dS = c dT \text{ (1 mol)} \Rightarrow \Delta S = \int c \frac{dT}{T} = \int (aT^3 + b) dT = \frac{aT^3}{3} + bT$$

$c = aT^3 + bT$ (a e b são constantes)

Determine a variação da entropia de 1 mol de átomos de ouro, em função da temperatura. ($\Delta S_{(1 \text{ mol})} = aT^3/3 + bT$)

3.9.6. Em baixas temperaturas, o calor específico de um sólido cristalino não metálico varia com a temperatura segundo

$$c = aT^3 \quad (a \text{ é constante})$$

Dois sólidos cristalinos não metálicos de mesmo material mesma massa (m), inicialmente a temperaturas de 10 K e 20 K, são colocados em contato térmico, mas isolados de outros corpos. Em relação a esses dois sólidos, determine:

- a) a temperatura final; (17,1 K)
- b) a variação de entropia. (333,5 mJ/K)

3.9.1. $c_v = 6,09 \text{ cal/mol.°C}$ $T_1 = 0^\circ\text{C} \rightarrow T_2 = 30^\circ\text{C}$ (processo isotérmico)

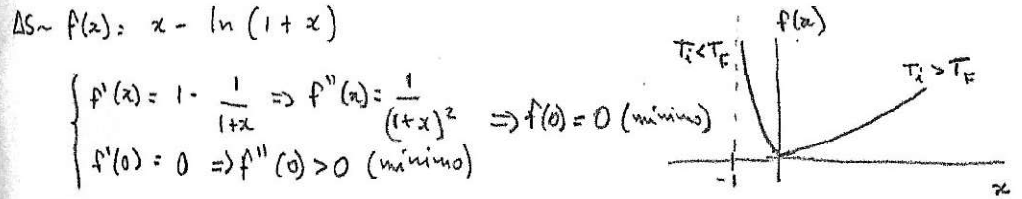
(1 mol de prata) $dQ = c_v dT = T dS \Rightarrow \Delta S = c_v \int_{T_1}^{T_2} \frac{dT}{T} = c_v \ln\left(\frac{T_2}{T_1}\right)$

$$\Delta S = 6,09 \ln\left(\frac{303,15}{273,15}\right) = 0,635 \text{ cal/K}$$

3.9.2. $\left. \begin{array}{l} \text{corpo } T_i \\ \text{fonte } T_f \end{array} \right\} \begin{array}{l} \Delta S_c = C_p \int_{T_i}^{T_f} \frac{dT}{T} = C_p \ln \frac{T_f}{T_i} \\ \Delta S_F = \frac{Q_F}{T_F} = C_p \frac{(T_i - T_f)}{T_F} \quad (Q_F = -Q_c) \end{array}$

$$\Delta S = \Delta S_c + \Delta S_F = C_p \left(\frac{T_i}{T_f} - 1 + \ln \frac{T_f}{T_i} \right) = C_p \left(\frac{T_i}{T_f} - 1 - \ln \frac{T_i}{T_f} \right)$$

$\begin{cases} T_f > T_i \Rightarrow -1 < x \leq 0 \\ T_f < T_i \Rightarrow x > 0 \\ -1 < x < \infty \end{cases}$



3.9.3. $m_{\text{água}} = 10^3 \text{ g}$ $T_i = 0^\circ\text{C}$ $T_f = 100^\circ\text{C}$ $c_p^{\text{água}} = 4,18 \text{ J/g.K}$

a) $\Delta S_{\text{água}} = m_{\text{água}} c_p^{\text{água}} \int_{T_i}^{T_f} \frac{dT}{T} = 10^3 \times 4,18 \times \ln\left(\frac{373,15}{273,15}\right) = 1304 \text{ J/K}$

b) $\Delta S_F = \frac{Q_F}{T_F} = -\frac{Q_{\text{água}}}{T_F} = -\frac{m_{\text{água}} c_p^{\text{água}} \Delta T_{\text{água}}}{T_F} = -\frac{10^3 \times 4,18 \times 10^2}{373,15} = -1120 \text{ J/K}$

$\Delta S = \Delta S_{\text{água}} + \Delta S_F = 1304 - 1120 = 184 \text{ J/K}$

3.9.4. $c = \frac{C}{m}$ (calor específico) $\Rightarrow \frac{C_{\text{mol}}}{e} = \frac{m}{n} = \mu$ (massa de um mol em gramas = peso atômico)

$C_{\text{mol}} = \frac{C}{n}$ (calor específico molar) $n = \text{no de moles}$

metais $C_{\text{mol}} \approx 6 \text{ cal/mol.K}$

3.9.6.

$$T_A = 10\text{K} \quad T_B = 20\text{K}$$

$$c = aT^2 \Rightarrow \int_{T_A}^{T_F} T^2 dT + \int_{T_B}^{T_F} T^2 dT = 0 \Rightarrow (T_F^3 - T_A^3) + (T_F^3 - T_B^3) = 0$$

$$T_F^3 = \frac{T_A^3 + T_B^3}{2} = \frac{10^3 + 20^3}{2} = 10^3 \left(\frac{1+8}{2} \right) \Rightarrow T_F = 10 \left(\frac{9}{2} \right)^{1/3} = 17.1\text{K}$$

$$b) \Delta S = m \int_{T_i}^{T_F} \frac{c dT}{T} = ma \int_{T_i}^{T_F} T dT = \frac{ma}{2} (T_F^2 - T_i^2)$$

$$\begin{cases} \Delta S_A = \frac{ma}{2} (17.1^2 - 10^2) = ma \cdot 133.4 \text{ (J/K)} \\ \Delta S_B = \frac{ma}{2} (17.1^2 - 20^2) = -ma \cdot 99.93 \text{ (J/K)} \end{cases} \Rightarrow \Delta S = 333.5 ma \text{ (J/K)}$$

3.9.7.

$$T_A = 100\text{K} \quad T_B = 200\text{K}$$

$$c = aT \Rightarrow \int_{T_A}^{T_F} T dT + \int_{T_B}^{T_F} T dT = 0$$

$$a) (T_F^2 - T_A^2) + (T_F^2 - T_B^2) = 0 \Rightarrow T_F^2 = \frac{T_A^2 + T_B^2}{2} = \frac{100^2 + 200^2}{2} \Rightarrow T_F = 100 \sqrt{\frac{5}{2}} = 158.1\text{K}$$

$$b) \Delta S = \int_{T_i}^{T_F} \frac{c dT}{T} = a \int_{T_i}^{T_F} dT = a(T_F - T_i)$$

$$\begin{cases} \Delta S_A = a(T_F - T_A) = a \cdot 58.1 \text{ (J/K)} \\ \Delta S_B = a(T_F - T_B) = -a \cdot 41.9 \text{ (J/K)} \end{cases} \Rightarrow \Delta S = 16.2 a \text{ (J/K)}$$

3.9.7. Dois sólidos homogêneos de mesmo material e mesmo volume, a temperaturas iniciais de 100 K e de 200 K, são colocados em contato, mas isolados da vizinhança, até atingirem o equilíbrio térmico. A capacidade térmica dos corpos varia linearmente com a temperatura segundo

$$C = aT \quad (a \text{ é constante})$$

Estime:

- a) a temperatura final dos corpos; (158,1 K)
- b) a variação de entropia de ambos. (16,2 a J/K)

3.9.8. A partir da fórmula de Sackur-Tetrode,

$$S = Nk \ln \left[\frac{3}{2} \ln T + \ln \frac{V}{N} + \frac{5}{2} + \frac{3}{2} \ln \left(\frac{2\pi mkT}{h^2} \right) \right]$$

mostre que:

$$\frac{3}{2} \ln \left(\frac{2\pi mkT}{h^2} \right) = \frac{3}{2} \ln \left(\frac{4\pi m}{3h^2} \right) \frac{U}{N}$$

- a) a entropia pode ser escrita como

$$S = Nk \ln \left[\left(\frac{T}{T_c} \right)^{3/2} e^{5/2} \right] \quad \text{sendo} \quad T_c = \left(\frac{h^2}{2\pi mk} \right) \left(\frac{N}{V} \right)^{2/3}$$

- b) o potencial químico (μ) de um gás ideal molecular monoatômico não degenerado é dado por

$$\mu = -\frac{3}{2} kT \ln \frac{T}{T_c}$$

$$S = Nk \left[\frac{3}{2} \ln \frac{U}{N} + \ln \frac{V}{N} + \frac{3}{2} \ln \left(\frac{4\pi m}{3h^2} \right) + \frac{5}{2} \right]$$

$$\begin{aligned} \frac{\mu}{T} &= \left(\frac{\partial S}{\partial N} \right)_{U,V} = k \left[\frac{3}{2} \ln \frac{U}{N} + \ln \frac{V}{N} + \frac{3}{2} \ln \left(\frac{4\pi m}{3h^2} \right) + \frac{5}{2} \right] + Nk \left(-\frac{3}{2} \frac{1}{N} - \frac{1}{N} \right) \\ &= \frac{3}{2} k \ln \left(\frac{2\pi mk}{h^2} \right) \left(\frac{V}{N} \right)^{2/3} T \end{aligned}$$

$$\mu = -\frac{3}{2} k \ln \frac{T}{T_c}$$

Exercícios

1. A densidade de elétrons móveis em um semicondutor é da ordem de 10^{23} cm^{-3} .
 Explique por que esses elétrons se comportam como um gás não degenerado na temperatura ambiente.

2. Defina um gás degenerado.
 3. Explique o que é nível de Fermi.
 4. A densidade de elétrons móveis em um semicondutor é da ordem de 10^{23} cm^{-3} .
 Explique por que esses elétrons se comportam como um gás não degenerado na temperatura ambiente.

5. Estime a temperatura e o nível de Fermi para:

6. elétrons em um metal ($N/V \approx 2 \times 10^{28} \text{ m}^{-3}$); (2,7 eV)

7. prótons em um núcleo pesado ($N/V \approx 0,55 \times 10^{44} \text{ m}^{-3}$). (29 MeV)

8. Mostre que a pressão de um gás ideal de férmions não relativísticos em estado fundamental ($T = 0\text{K}$), também denominada pressão de Fermi, é dada por

$$P_F = \frac{2}{5} \frac{N}{V} \epsilon_F \quad (\epsilon_F = \text{nível de Fermi})$$

9. Estime o nível de Fermi, em eV, e a pressão, em atm, de um gás ideal de férmions não relativísticos em seu estado fundamental, constituído por cerca de 10^{23} elétrons confinados em um volume de 1 cm^3 .

10. A energia média de um gás de férmions em seu estado fundamental (0K) é dada por

$$U_0 = \frac{3}{5} N \epsilon_F$$

11. Estime o nível de Fermi do gás.
 12. Estime o nível de Fermi, em eV, e a pressão, em atm, desse gás, se o mesmo é constituído por cerca de 10^{23} elétrons confinados em um condutor de volume 1 cm^3 .

$$N_V = 10^{23} \text{ m}^{-3} \quad T_F^{\text{lim}} = \left(\frac{3}{8\pi} \frac{N}{V} \right)^{2/3} \frac{h^2}{2mk} = 9,2 \text{ K}$$

$$T_F = \left(\frac{3}{8\pi} \frac{N}{V} \right)^{2/3} \frac{h^2}{2mk} \quad m \approx 0,9 \times 10^{-31} \text{ kg}$$

$$= 1,786 \times 10^{18} \cdot 1,767 \times 10^{-19} = 9,32 \times 10^5 \text{ K}$$

4.6.9. Um efeito magnético, denominado paramagnetismo de Pauli, decorre dos elétrons de condução de um metal. Para temperaturas bem abaixo da temperatura de Fermi, ao submeter o metal a um campo magnético \vec{B} , apenas alguns elétrons são excitados ligeiramente acima do nível de Fermi (ϵ_F), com energias da ordem de $\epsilon_F + \mu_B B$ tal que $\mu_B B \ll \epsilon_F$, em que μ_B é o chamado magnéton de Bohr.

Mostre que, nesse caso, o número de elétrons excitados (N_{exc}) pode ser estimado por

$$N_{\text{exc}} = \frac{3}{2} N \frac{\mu_B B}{\epsilon_F}$$

e que a chamada susceptibilidade de Pauli, independente da temperatura, é dada por

$$\chi_{\text{Pauli}} = \frac{3}{2} N \frac{\mu_B^2}{\epsilon_F}$$

$$g(\epsilon) = \frac{3}{2} N \frac{\epsilon^{1/2}}{\epsilon_F^{3/2}} \Rightarrow N_{\text{exc}} = \int_{\epsilon_F}^{\epsilon_F + \mu_B B} \frac{3}{2} N \frac{\epsilon^{1/2}}{\epsilon_F^{3/2}} d\epsilon = \frac{N}{\epsilon_F^{3/2}} \left[\epsilon^{3/2} \right]_{\epsilon_F}^{\epsilon_F + \mu_B B}$$

$$N_{\text{exc}} = \frac{N}{\epsilon_F^{3/2}} \left[(\epsilon_F + \mu_B B)^{3/2} - \epsilon_F^{3/2} \right] = N \left[\left(1 + \frac{\mu_B B}{\epsilon_F} \right)^{3/2} - 1 \right] \approx N \left(1 + \frac{3}{2} \frac{\mu_B B}{\epsilon_F} - 1 \right)$$

$$= \frac{3}{2} \frac{N \mu_B B}{\epsilon_F} \quad (\mu_B B \ll \epsilon_F)$$

$$M = N_{\text{exc}} \cdot \mu_B = \left(\frac{3}{2} \frac{N \mu_B^2}{\epsilon_F} \right) B \quad \chi_{\text{Pauli}}$$

4.6.6. $U_0 = \int_0^{\epsilon_F} \epsilon g(\epsilon) d\epsilon = \frac{3}{2} \frac{N}{\epsilon_F^{3/2}} \int_0^{\epsilon_F} \epsilon^{3/2} d\epsilon = \frac{3}{5} \frac{N}{\epsilon_F^{3/2}} \epsilon_F^{5/2} = \frac{3}{5} N \epsilon_F = \frac{3}{5} N k \left(\frac{3}{8\pi} \frac{N}{V} \right)^{2/3} \frac{h^2}{2mk}$

$$P = P_F = - \left. \frac{\partial U}{\partial V} \right|_{S=0} = \frac{3}{5} \frac{N k^2}{3(8\pi)^{2/3}} \left(\frac{3}{8\pi} \frac{N}{V} \right)^{2/3} \frac{h^2}{2mk} \frac{1}{V}$$

$$P_F = \frac{2}{5} \frac{N}{V} \epsilon_F$$

4.6.7. $\frac{N}{V} = 10^{29} \text{ m}^{-3} \quad \epsilon_F = k T_F = \left(\frac{3}{8\pi} \frac{N}{V} \right)^{2/3} \left(\frac{h^2}{2m} \right) = 1,274 \times 10^{-18} \text{ J} = 7,96 \text{ eV} \approx 10 \text{ eV}$

$$P_F = \frac{2}{5} \frac{N}{V} \epsilon_F = \frac{2 \times 10^{29}}{5} \cdot 1,274 \times 10^{-18} = 5,096 \times 10^{10} \text{ Pa} = 5,1 \times 10^5 \text{ atm}$$

$$5.10.1. \quad S = Nk \ln \left[\frac{V}{N} \left(\frac{2\pi mkT}{h^2} \right)^{3/2} e^{5/2} \right] = k \ln \underbrace{\left[\frac{V}{N} \left(\frac{2\pi mkT}{h^2} \right)^{3/2} e^{5/2} \right]^N}_W$$

$$\text{CNTP} \Rightarrow \begin{cases} N = 6.022 \times 10^{23} \\ \frac{V}{N} = \frac{22.4 \times 10^{-3}}{6.022 \times 10^{23}} = 3.72 \times 10^{-26} \text{ m}^3 \\ \frac{2\pi mkT}{h^2} = \frac{2\pi \times 4 \times 1.67 \times 10^{-27} \times 1.38 \times 10^{-23} \times 2.73 \times 10^2}{(6.626)^2 \times 10^{-68}} = 3.6 \times 10^{20} \end{cases}$$

$$W = \left[3.72 \times 10^{-26} \times \frac{(3.6)^{3/2}}{4.83} \frac{(10^{20})^{3/2}}{10^{30}} \frac{e^{5/2}}{12.18} \right]^N = \left(3 \times 10^6 \right)^{6.022 \times 10^{23}}$$

$$= 10^{3.6 \times 10^{24}} \sim 10^{10^{25}}$$

$$5.10.2. \quad \Delta S = \frac{Q}{T} = \frac{4.14 \times 10^{-15}}{\frac{300}{3 \times 10^2}} = 1.38 \times 10^{-21} \text{ J/K}$$

$$\begin{cases} S = k \ln W \\ S_0 = k \ln W_0 \end{cases} \Rightarrow \Delta S = k \ln \frac{W}{W_0} \Rightarrow \frac{W}{W_0} = e^{\Delta S/k} = e^{100} = 2.73 \times 10^{43}$$

$$\frac{\Delta W}{W_0} = \frac{W - W_0}{W_0} = \frac{W}{W_0} - 1 = e^{\Delta S/k} - 1 \approx e^{100} = 2.73 \times 10^{43}$$

$$10 e^{\ln 10} \Rightarrow 10^{43} = e^{43 \ln 10} \approx e^{99} \approx \frac{e^{100}}{e} \Rightarrow e^{100} = 2.73 \times 10^{43}$$

$$5.10.3. \quad \Delta S = \frac{Q}{T} = \frac{10^{-7}}{31.34} = 3.19 \times 10^{-9} \text{ J/K}$$

$$\frac{W}{W_0} = e^{\Delta S/k} = \frac{3.19 \times 10^{-9}}{e^{1.38 \times 10^{-23}}} = e^{2.3 \times 10^{14}} = (e^{2.3})^{10^{14}} \approx 10^{10^{14}}$$

$$5.10.4. \quad \Delta S = \frac{Q}{T}$$

$$\frac{W}{W_0} = e^{\Delta S/k} \Rightarrow \frac{\Delta S}{k} = \ln \frac{W}{W_0} = \frac{Q}{kT} \Rightarrow Q = kT \ln \frac{W}{W_0}$$

$$Q = 1.38 \times 10^{-23} \times 2.98 \times 10^2 \ln 10^6 = 5.675 \times 10^{-21} \text{ J}$$

$$5.10.6. \quad \langle n(\epsilon) \rangle = \lambda e^{-\epsilon/kT} \quad g(\epsilon) = \frac{3}{2} N \frac{\epsilon^{1/2}}{(hT_b)^{3/2}}$$

$$N = \int_0^\infty g(\epsilon) \langle n(\epsilon) \rangle d\epsilon = \frac{3N\lambda}{2(hT_b)^{3/2}} \int_0^\infty \frac{\epsilon^{1/2} e^{-\epsilon/kT} d\epsilon}{(hT)^{3/2} x^{1/2} e^{-x}}$$

$$N = \frac{3}{2} N \lambda \left(\frac{T}{T_b} \right)^{3/2} \int_0^\infty x^{1/2} e^{-x} dx$$

$$\Gamma(3/2)$$

$$\frac{\epsilon}{kT} = x \Rightarrow d\epsilon = kT dx$$

$$\epsilon^{1/2} = x^{1/2} (kT)^{1/2}$$

$$\lambda = \frac{T_b^{3/2}}{\frac{3}{2} \Gamma(3/2) T^{3/2}} = \left(\frac{T_b}{T} \right)^{3/2}$$

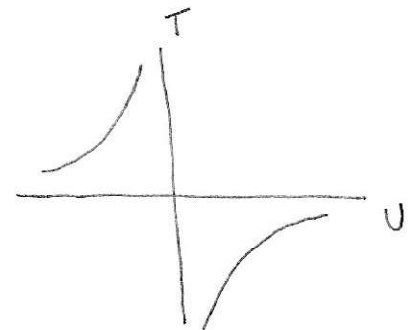
$$T_b = \frac{T_b^{3/2}}{\Gamma(3/2)}$$

$$5.10.5. \quad S = S_0 - C U^2$$

$U \rightarrow$ pos. ou neg.
 $C \rightarrow$ ct \pm pos.

$$\frac{1}{T} = \frac{\partial S}{\partial U} = -2CU$$

$$T = \left(-\frac{1}{2C} \right) \frac{1}{U}$$



Entropia dos gases degenerados

$$\ln W = \sum_i \left[n_i \ln \left(\frac{g_i}{n_i} \mp 1 \right) \mp g_i \ln \left(1 \mp \frac{n_i}{g_i} \right) \right] \quad \begin{array}{l} \text{fórmulas (-)} \\ \text{bósons (+)} \end{array} \quad \frac{n_i}{g_i} = \langle n_i \rangle$$

$$= \sum_i \left[n_i \ln \left(\frac{1}{\langle n_i \rangle} \mp 1 \right) \mp g_i \ln \left(1 \mp \langle n_i \rangle \right) \right]$$

$$\frac{1 \mp \langle n_i \rangle}{\langle n_i \rangle}$$

$$= \sum_i \left[n_i \ln \left(1 \mp \langle n_i \rangle \right) - n_i \ln \langle n_i \rangle \mp g_i \ln \left(1 \mp \langle n_i \rangle \right) \right]$$

$$= \sum_i \left[-n_i \ln \langle n_i \rangle + \underbrace{(n_i \mp g_i)}_{\mp (g_i \mp n_i)} \ln \left(1 \mp \langle n_i \rangle \right) \right]$$

$$\mp (g_i \mp n_i) = \mp g_i (1 \mp \langle n_i \rangle)$$

$$= \sum_i \left[-n_i \ln \langle n_i \rangle \mp g_i (1 \mp \langle n_i \rangle) \ln \left(1 \mp \langle n_i \rangle \right) \right]$$

$$= \sum_i g_i \left[-\langle n_i \rangle \ln \langle n_i \rangle \mp (1 \mp \langle n_i \rangle) \ln \left(1 \mp \langle n_i \rangle \right) \right]$$

$$\boxed{S = k \sum_i g_i \left[-\langle n_i \rangle \ln \langle n_i \rangle \mp (1 \mp \langle n_i \rangle) \ln \left(1 \mp \langle n_i \rangle \right) \right]} \quad \begin{array}{l} \text{FD (-)} \\ \text{BE (+)} \end{array}$$

$T \rightarrow 0$ (baixas temperaturas)

(Introductory Statistical Mechanics for Physicists - D.K.C. Mac Donald)

limite não-degenerado ($\langle n_i \rangle \ll 1$)

$$\ln \left(1 \mp \langle n_i \rangle \right) = \mp \langle n_i \rangle \Rightarrow \mp \left(1 \mp \langle n_i \rangle \right) \ln \left(1 \mp \langle n_i \rangle \right) = \langle n_i \rangle = \frac{n_i}{g_i}$$

$$S_{NS} = -k \sum_i n_i \ln \langle n_i \rangle + k \sum_i \frac{n_i}{g_i} \quad (\text{viola 3ª lei})$$

férmions $\left\{ \begin{array}{l} \varepsilon_i > \varepsilon_F \Rightarrow \langle n_i \rangle = 0 \\ \varepsilon_i \leq \varepsilon_F \Rightarrow \langle n_i \rangle = 1 \end{array} \right. \Rightarrow S_{FD} = 0$

bósons $\left\{ \begin{array}{l} \varepsilon_i > \varepsilon_0 \Rightarrow \langle n_i \rangle = 0 \\ \varepsilon_i = \varepsilon_0 \Rightarrow \langle n_i \rangle \gg 1 \end{array} \right. \Rightarrow S_{BE} = 0$
 ε_0 - nível fundamental

6.12.1. $Z_{gas} \propto Z_{molec}^N \Rightarrow \ln Z_{gas} = N \ln Z_{molec}$

$Z_{molec} \propto \int e^{-\beta E(p)} d^3p$ $E(p) = \frac{p^2}{2m} = \frac{p_x^2}{2m} + \frac{p_y^2}{2m} + \frac{p_z^2}{2m}$

$\propto \int_{-\infty}^{\infty} e^{-\beta \frac{p_x^2}{2m}} dp_x \int_{-\infty}^{\infty} e^{-\beta \frac{p_y^2}{2m}} dp_y \int_{-\infty}^{\infty} e^{-\beta \frac{p_z^2}{2m}} dp_z$

$\propto \left[\int_{-\infty}^{\infty} e^{-\alpha x^2} dx \right]^3 = \left(\frac{\pi}{\alpha} \right)^{3/2} \propto \beta^{-3/2} \Rightarrow \ln Z_{molec} \propto -\frac{3}{2} \ln \beta$

$U = -\frac{\partial \ln Z_{gas}}{\partial \beta} = -N \frac{\partial \ln Z_{molec}}{\partial \beta} = \frac{3}{2} N \frac{1}{\beta} = \frac{3}{2} NkT = 3N \left(\frac{1}{2} kT \right)$

gas (N particles) \Rightarrow 3N terms quadratic $\Rightarrow \frac{1}{2} kT$ p/cada termo quadratico

6.12.2. $Z_c = Z^N$ $N = 10^{23}$ $Z = \sum_n e^{-\beta E_n}$ $T=1K \Rightarrow \beta = \frac{1}{k}$ $k = 1.38 \times 10^{-23} J/K$

$E_n \begin{cases} E_1 = 0 J \\ E_2 = 1.38 \times 10^{23} J \\ E_3 = 2.76 \times 10^{23} J \end{cases}$

$Z_c = (1.503)^{10^{23}}$

a) $Z = e^{-\beta E_1} + e^{-\beta E_2} + e^{-\beta E_3} = 1 + \frac{1}{e} + \frac{1}{e^2} = 1.503$
 $\frac{\partial Z}{\partial \beta} = -E_1 e^{-\beta E_1} - E_2 e^{-\beta E_2} - E_3 e^{-\beta E_3}$

b) $U = -\frac{\partial \ln Z_c}{\partial \beta} = -N \frac{\partial \ln Z}{\partial \beta} = -N \frac{1}{Z} \frac{\partial Z}{\partial \beta}$

$\frac{U}{N} = \left(\frac{e^{-\beta E_1}}{Z} \right) E_1 + \left(\frac{e^{-\beta E_2}}{Z} \right) E_2 + \left(\frac{e^{-\beta E_3}}{Z} \right) E_3 = \langle E \rangle$

c) $P_1 = \frac{1}{1.503} = 0.665$ $P_2 = \frac{0.368}{1.503} = 0.245$ $P_3 = \frac{0.135}{1.503} = 0.09$

$U = \sum_i \langle n_i \rangle E_i = \langle n_1 \rangle E_1 + \langle n_2 \rangle E_2 + \langle n_3 \rangle E_3$

$\frac{U}{N} = \left(\frac{\langle n_1 \rangle}{N} \right) E_1 + \left(\frac{\langle n_2 \rangle}{N} \right) E_2 + \left(\frac{\langle n_3 \rangle}{N} \right) E_3$

$U = (NP_1)E_1 + (NP_2)E_2 + (NP_3)E_3 = 10^{23} (0.245 \times 1.38 + 0.09 \times 2.76) \times 10^{23}$

$U = 0.587 J$

6.12.3. $E_1 = 0 J$ $E_2 = 1.38 \times 10^{23} J$ $E_3 = 4.14 \times 10^{23} J$ $E_4 = 8.28 \times 10^{23} J$ ($T=5K$)

$Z = \sum_i e^{-\beta E_i} = 1 + e^{-1/5} + e^{-3/5} + e^{-6/5} = 1 + \frac{1}{e^{1/5}} + \left(\frac{1}{e^{1/5}} \right)^3 + \left(\frac{1}{e^{1/5}} \right)^6$
 $= 1 + 0.819 + \frac{(0.819)^3}{0.549} + \frac{(0.819)^6}{0.302} = 2.67 = Z$

$P_1 = \frac{e^{-E_1/kT}}{Z} = \frac{1}{2} = \frac{1}{2.67} = 0.375$

6.12.4. $E_1 = 0 J$ $g_1 = 1$ $E_2 = 138 \times 10^{23} J$ $g_2 = 3$ $E_3 = 276 \times 10^{23} J$ ($T=100K$) $g_3 = 5$

$Z = 1 + \frac{3e^{-1}}{1.104} + \frac{5e^{-2}}{0.671} = 2.781 = Z$

a) $P_1 = \frac{1}{2} = 0.36$ $P_2 = \frac{1.104}{2} = 0.397$ $P_3 = \frac{0.671}{2} = 0.243$

b) $\langle E \rangle = \frac{0.397 \times 138 \times 10^{21} + 0.243 \times 276 \times 10^{23}}{0.548 \times 10^{21} + 0.671 \times 10^{21}} = 1.22 \times 10^{21} J$

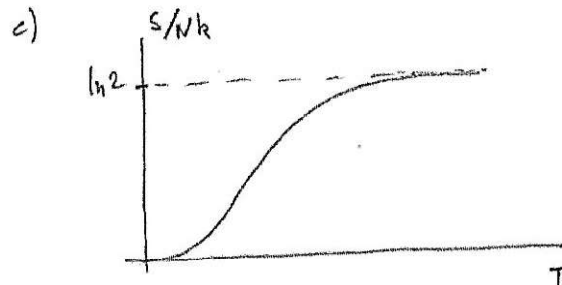
6.12.6. $E < \begin{cases} M_0 B \\ -M_0 B \end{cases} \Rightarrow Z = e^x + e^{-x} = 2 \cosh x$ $\alpha = \frac{M_0 B}{kT} = \beta M_0 B$

$\ln Z = \ln 2 + \ln \cosh x$ $\frac{\partial \ln Z}{\partial x} = \tanh x$

a) $S = Nk \frac{\partial}{\partial T} (T \ln Z) = Nk \ln Z + NkT \left(\frac{\partial \ln Z}{\partial x} \right) \left(\frac{\partial x}{\partial T} \right)$

$S = Nk [\ln 2 + \ln \cosh x - x \tanh x]$

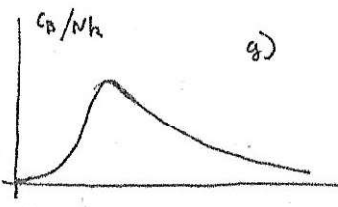
b) $\begin{cases} T \rightarrow 0 \Rightarrow x \rightarrow \infty \Rightarrow S = Nk (\ln 2 + \frac{\ln e^x - x}{2}) = 0 \\ T \rightarrow \infty \Rightarrow x \rightarrow 0 \Rightarrow S = Nk (\ln 2 + \frac{\ln 1 - x^2}{0}) = Nk \ln 2 \end{cases}$



6.12.6 $S = Nk (\ln 2 + \ln \cosh x - x \tanh x) \quad x = \frac{\mu_B B}{kT}$

d) $C_B = T \left(\frac{\partial S}{\partial T} \right)_B = T \frac{\partial S}{\partial x} \frac{\partial x}{\partial T} \rightarrow -x/T$
 $L_0 - x \frac{d}{dx} (\tanh x) = -x \frac{(\cosh^2 x - \sinh^2 x)}{\cosh^4 x} (x Nk)$

$C_B = Nk \left(\frac{x}{\cosh^2 x} \right)^2$



e) $\begin{cases} T \rightarrow 0 \Rightarrow x \rightarrow \infty \Rightarrow C_B = Nk \left(\frac{2x}{e^{2x}} \right)^2 \rightarrow 0 \\ T \rightarrow \infty \Rightarrow x \rightarrow 0 \Rightarrow C_B = Nk x^2 \rightarrow 0 \end{cases}$

f) $\frac{dC_B}{dx} = Nk \frac{2x \cosh^2 x - 2x^2 \sinh x \cosh x}{\cosh^4 x} = Nk \left[\frac{2x}{\cosh^2 x} - \frac{2x^2 \sinh x}{\cosh^3 x} \right] = 0$
 $= 1 - x \tanh x = 0 \Leftrightarrow \frac{1}{x} = \tanh x$

$h(x) = \frac{1}{x} - \tanh x$ (pontos de máximo e raiz de $h(x)$)

6.12.9. $E_j = g \mu_B B m_j$ ($m_j = -J, -J+1, -J+2, \dots, J-1, J$) ($2J+1$ valores)

a) $Z = \sum_{m_j=-J}^J e^{-g \mu_B B m_j / kT} = \sum_{m_j=-J}^J e^{\frac{a}{J} m_j} = e^{-a} + e^{-a \frac{J-1}{J}} + e^{-a \frac{J-2}{J}} + \dots + e^a$
 $Z = e^a + e^a (e^{-2a/J}) + e^a (e^{-4a/J}) + \dots + e^a (e^{-2a/J})^{2J} \rightarrow P.G. \text{ (razão } = \frac{e^{-2a/J}}{1}$

$a = g \mu_B B J$
 kT

$\begin{cases} Z = e^a + n e^a + n^2 e^a + \dots + n^{2J} e^a \\ nZ = n e^a + n^2 e^a + \dots + n^{2J+1} e^a \end{cases}$
 $(1-n)Z = e^a (1 - n^{2J+1}) \Rightarrow Z = \frac{e^a (1 - n^{2J+1})}{1-n} = \frac{e^a [1 - e^{-2a/J(2J+1)}]}{1 - e^{-2a/J}}$
 $= \frac{e^{a(J+1/2)} - e^{-a(J+1/2)}}{1 - e^{-2a/J}} = \left(\frac{e^{a/2}}{e^{a/2}} \right)$

$Z = \frac{e^{a(J+1/2)} - e^{-a(J+1/2)}}{e^{a/2} - e^{-a/2}} = \frac{\sinh a(J+1/2)}{\sinh a/2}$

b) $\begin{cases} \ln Z = \ln \sinh a(J+1/2) - \ln \sinh a/2 \\ \frac{\partial \ln Z}{\partial a} = \frac{(J+1/2) \coth a(J+1/2)}{J} - \frac{1}{2J} \coth \frac{a}{2J} = B_T(a) \end{cases}$ funções de Brillouin

$\frac{\partial \ln Z}{\partial a} = g \mu_B B J$

$U = -N \frac{\partial \ln Z}{\partial \beta} = -N \frac{\partial \ln Z}{\partial a} \frac{\partial a}{\partial \beta} = \left[\frac{1}{g \mu_B J} B_T(a) \right] B$
 $M \text{ (magnetização)}$

6.12.5. $\epsilon \begin{cases} \mu_B B \\ 0 \\ -\mu_B B \end{cases} \Rightarrow Z = e^2 + 1 + e^{-2} = 1 + 2 \cosh \alpha \quad \alpha = \frac{\mu_B B}{kT} = \beta \mu_B B$

a) $U = -N \frac{\partial \ln Z}{\partial \beta} = -N \frac{1}{Z} \frac{\partial Z}{\partial \beta} = -N \frac{1}{Z} \left(\frac{\partial Z}{\partial \alpha} \right) \left(\frac{\partial \alpha}{\partial \beta} \right)$

$U = - \left(\mu_B \frac{2 \cosh \alpha}{1 + 2 \cosh \alpha} \right) B$

b) $\begin{cases} T \rightarrow 0 \Rightarrow \alpha \rightarrow \infty \Rightarrow M = N \mu_B \text{ (saturado)} \\ T \rightarrow \infty \Rightarrow \alpha \rightarrow 0 \Rightarrow M = \frac{2}{3} \frac{N \mu_B^2 B}{kT} \end{cases}$

6.12.7. $Z \propto (VT^3)^N \Rightarrow \ln Z = 3N \ln T + \ln V + c$

$\begin{cases} U = -\frac{\partial \ln Z}{\partial \beta} = -\frac{\partial \ln Z}{\partial \beta / \partial T} \frac{\partial T}{\partial \beta} = 3NkT = \frac{3N}{\beta} \\ -\frac{\partial U}{\partial \beta} = 3N/\beta^2 = 3Nk^2T^2 \end{cases}$

$\frac{\Delta E}{\langle E \rangle} = \frac{1}{U} \sqrt{-\frac{\partial U}{\partial \beta}} = \sqrt{\frac{-\partial U / \partial \beta}{U^2}} = \sqrt{\frac{3Nk^2T^2}{9N^2k^2T^2}} = \frac{1}{\sqrt{3N}}$

6.12.9. $E_1 = 0 \text{ J}, g_1 = 1 \quad E_2 = 1.38 \times 10^{-23} \text{ J}, g_2 = 2 \quad E_3 = \frac{4.14 \times 10^{-13}}{2 \times E_2} \text{ J}, g_3 = 3 \quad (T = 10 \text{ K})$

$Z = \sum_i g_i e^{-\beta E_i} = 1 + 2e^{-\beta E_2} + 3e^{-\beta E_3} = 1 + \frac{2}{e^{0.1}} + \frac{3}{(e^{0.1})^3} = 5.02 \quad (V_{e^{0.1}} \approx 0.9)$

a) $P_1 = \frac{1}{Z} = 0.199 \quad P_2 = \frac{2}{Z} = 0.359 \quad P_3 = 1 - P_1 - P_2 = 0.438$

b) $\langle E \rangle = 0.359 \cdot E_2 + 0.438 \cdot 3 \cdot E_2 = 1.67 E_2 \Rightarrow 2.3 \times 10^{-23} \text{ J}$

6.12.10. Um gás de fótons sempre é fortemente degenerado e também obedece à distrib. de Planck ($C_V = 10^7 kVT^3$)

6.12.11. $S = \int_0^T \frac{C_V}{T} dT = 10^7 k V \int_0^T T^2 dT = \left(\frac{10^7 V T^3}{3} \right) k \quad \begin{cases} V \geq 10^{19} \text{ m}^3 \\ T = 2.7 \text{ K} \end{cases}$

$N_g = \frac{10^7 \times 10^{19}}{3} (2.7)^3 \approx 10^{27}$

6.12.12. $\begin{cases} M = 3 \times 10^{30} \text{ kg} \\ R = 3 \times 10^7 \text{ m} \end{cases} \quad T = 10^7 \text{ K} \quad \begin{cases} m_p = 1.67 \times 10^{-27} \text{ kg} \\ m_e = 9.11 \times 10^{-31} \text{ kg} \end{cases}$

$\left(\frac{N}{V} \right)_{\text{elétrons}} = \left(\frac{N}{V} \right)_{\text{prótons}} = \frac{M}{m_p} \frac{3}{4\pi R^3} = \frac{3 \times 10^{30} \times 3}{1.67 \times 10^{-27} \times 4\pi \times 3^3 \times 10^{21}} = \frac{10^2}{1.67 \times 12\pi} \times 10^{34} = 1.6 \times 10^{34} \text{ m}^{-3}$

$T_F^{\text{elétrons}} = \left(\frac{3}{8\pi} \frac{N}{V} \right)^{2/3} \left(\frac{\hbar^2}{2m_e k} \right) = \left(\frac{3}{8\pi} \times 1.6 \times 10^{34} \right)^{2/3} \frac{(6.626)^2 \times 10^{-68}}{2 \times 9.11 \times 10^{-31} \times 1.38 \times 10^{-23}} = \frac{(6)^{2/3}}{1.54} \frac{10^{22} \times 10^{-68}}{10^{-54}} \frac{(6.626)^2}{2 \times 1.38 \times 9.11} = 2.7 \times 10^8 \text{ K} > T \text{ (degenerado)}$

$\frac{T_F^{\text{prótons}}}{T_F^{\text{elétrons}}} = \frac{m_e}{m_p} = \frac{9.11 \times 10^{-31}}{1.67 \times 10^{-27}} = 0.55 \times 10^{-3} \Rightarrow T_F^{\text{prótons}} = 1.5 \times 10^5 \text{ K} < T \text{ (não degenerado)}$

6.12.13. $P_F^{\text{elétrons}} = \frac{2}{5} \frac{N}{V} E_F \quad T = 10^6 \text{ K} < T_F \sim 10^{10} \text{ K} \text{ (degenerado)}$

$\begin{cases} \frac{N}{V} = \frac{M}{4\pi R^3} = \frac{M}{m_p} \left(\frac{3}{8\pi} \right) \frac{1}{R^3} \\ T_F = \left(\frac{3}{8\pi} \frac{N}{V} \right)^{2/3} \frac{2\pi^2 \hbar^2}{m_e k} \Rightarrow E_F = kT_F = \left(\frac{3}{8\pi} \right)^{4/3} \left(\frac{M}{m_p} \right)^{2/3} \frac{2\pi^2 \hbar^2}{m R^2} \end{cases}$

$P_F^{\text{elétrons}} = \frac{4}{5} \left(\frac{3}{8\pi} \right)^{1/3} \left(\frac{M}{m_p} \right)^{5/3} \frac{\pi^2 \hbar^2}{m R^5} \quad P_{\text{prótons}} = \frac{G}{4\pi} \frac{M^2}{R^4}$
 equilíbrio: $P_F^{\text{elétrons}} = P_{\text{prótons}} \Rightarrow M^{1/3} = \frac{16\pi^3}{5} \left(\frac{3}{8\pi} \right)^{7/3} \frac{\hbar^2}{G m m_p^{5/3} R}$

$R \sim \frac{\hbar^2}{G m m_p^{5/3}} \frac{1}{M^{1/3}}$

6.12.14. $\begin{cases} C_H \sim N_H k \\ C_Y \sim N_Y k \end{cases} \Rightarrow \frac{C_H}{C_Y} = \frac{N_H}{N_Y} \quad N_Y = 2 \times 10^7 VT^3$

$\frac{C_H}{C_Y} = \left(\frac{N_H}{V} \right) \frac{1}{2 \times 10^7 T^3} \quad \begin{cases} N_H/V = 1 \text{ m}^{-3} \\ T = 2.7 \text{ K} \end{cases}$
 $= 2.5 \times 10^{-9} \sim 10^0$

6.12.15. $T_D = \left(6\pi^2 \frac{N}{V}\right)^{1/3} \frac{k_c}{k} \rightarrow v_2^{3/3}$ $\frac{N}{V} = \left(\frac{M}{V}\right) \frac{1}{4m_p} = \frac{\rho}{4m_p} = \frac{145}{4 \times 1.67 \times 10^{-27}}$
 $= 2.17 \times 10^{28} \text{ m}^{-3}$

$\rho = 0.145 \text{ g/cm}^3 = 145 \text{ kg/m}^3$
 $v_2 = 240 \text{ m/s}$ $T_D = \left(18\pi^2 \frac{N}{V}\right)^{1/3} \frac{k v_2}{k} = 28.76 \text{ K}$

(fontamente de gerador) $c = \frac{12\pi^4}{5} Nk \frac{T^3}{T_D^3} = \frac{3\pi^4}{5} \left(\frac{M}{m_p}\right) \frac{T^3}{T_D^3} \Rightarrow \frac{c}{M} = \frac{3\pi^4}{5} \left(\frac{k}{m_p}\right) \frac{T^3}{T_D^3}$
over 6.20 ps.155 $\frac{c}{M} \approx 0.0203 T^3 \text{ (J/g.K)}$ $\left(\frac{c}{M}\right)_{exp} = 0.0204 T^3 \text{ (J/g.K)}$

6.12.16. Sol $R_\odot = 7 \times 10^8 \text{ m}$ $d = 1.5 \times 10^{11} \text{ m}$ $d \gg R_\odot$ $I = 0.136 \text{ J/s.cm}^2 = 1360 \text{ J/s.m}^2$
 intensidade da radiação que chega à Terra

a) $P_\odot = P = I (4\pi d^2) = 1360 \times 4\pi \times (1.5 \times 10^{11})^2 = 3.845 \times 10^{26} \text{ J/s} \sim 4 \times 10^{26} \text{ J/s}$
 potencia emitida pelo Sol potencia que chega à Terra

b) $P_\odot = I_\odot (4\pi R_\odot^2) = \sigma T_\odot^4 4\pi R_\odot^2$ $I_\odot = \sigma T_\odot^4$
 intensidade da radiação emitida pelo Sol $\rightarrow 5.67 \times 10^{-8} \text{ J/s.m}^2.\text{K}^4$

$T_\odot^4 = \frac{P_\odot}{4\pi \sigma R_\odot^2} = \frac{3.845 \times 10^{26}}{4\pi \times 5.67 \times 10^{-8} (7 \times 10^8)^2} = 1.1 \times 10^{15} \Rightarrow T_\odot = 5760 \text{ K}$

6.12.17. $E_p = -G M_\odot^2 / R_\odot$ $E = E_p / 2 \Rightarrow E_c = -E_p / 2 = NkT_\odot$ $G = 6.67 \times 10^{-11} \text{ Nm}^2/\text{kg}^2$
 $M_\odot = 2 \times 10^{30} \text{ kg}$ $N \approx 10^{57}$ $R_\odot = 7 \times 10^8 \text{ m}$
 $T_\odot = \frac{G M_\odot^2}{2Nk R_\odot} = \frac{6.67 \times 10^{-11} (2 \times 10^{30})^2}{2 \times 10^{57} \times 1.38 \times 10^{-23} \times 7 \times 10^8} = 1.38 \times 10^7 \text{ K} \sim 10^7 \text{ K}$

6.12.18. $I \times \pi R_T^2 = \sigma T_T^4 4\pi R_T^2$ $T_T = 278 \text{ K}$
 potencia absorvida pela Terra potencia emitida pelo Terra

6.12.8. $\epsilon_j = g \mu_B B m_j$ ($m_j = -J, -J+1, -J+2, \dots, J-1, J$) $\rightarrow \frac{(2J+1)}{N}$ valores

a) $Z = \sum_{m_j=-J}^J e^{-\frac{g \mu_B B m_j}{kT}} = \sum_{m_j=-J}^J e^{-\frac{a}{J} m_j}$

$= e^a + e^{a \frac{(J-1)}{J}} + e^{a \frac{(J-2)}{J}} + \dots + e^{-a}$

$a = \frac{g \mu_B B J}{kT}$

$= e^a + e^a (e^{-a/J}) + e^a (e^{-a/J})^2 + \dots + e^a (e^{-a/J})^{2J}$ \rightarrow P.G. (razão) $= \frac{e^{-a/J}}{1}$

$Z = e^a + n e^a + n^2 e^a + \dots + n^{N-1} e^a$

$nZ = n e^a + n^2 e^a + \dots + n^{N-1} e^a + n^N e^a$

$(1-n)Z = e^a(1-n^N) \Rightarrow Z = \frac{e^a(1-n^N)}{1-n} = \frac{e^a [1 - e^{-\frac{a}{J}(2J+1)}]}{1 - e^{-a/J}}$

$= \frac{e^{a/J} - e^{-a/J}(J+1)}{1 - e^{-a/J}} \times \left(\frac{e^{a/2J}}{e^{a/2J}} \right)$

$Z = \frac{e^{a(J+1/2)/J} - e^{-a(J+1/2)/J}}{e^{a/2J} - e^{-a/2J}} = \frac{\sinh a(J+1/2)/J}{\sinh a/2J}$

b)

$\ln Z = \ln \sinh a(J+1/2) - \ln \sinh a/2J$

$\frac{\partial \ln Z}{\partial a} = \frac{(J+1/2) \coth a (J+1/2)/J}{J} - \frac{1 \coth a}{2J} = B_J(a)$

$\frac{\partial a}{\partial \beta} = g \mu_B B J$

\rightarrow função de Brillouin

$U = -N \frac{\partial \ln Z}{\partial \beta} = -N \frac{\partial \ln Z}{\partial a} \frac{\partial a}{\partial \beta} = \underbrace{[N g \mu_B J B_J(a)]}_M B$
 M (magnetização)

6.12.8.

$B_J(a) = \frac{(J+1/2)}{J} \coth a \frac{(J+1/2)}{J} - \frac{1}{2J} \coth \frac{a}{2J}$

$B_{1/2}(a) = 2 \coth 2a - \coth a$
 $\coth a + \tanh a$

$B_{1/2}(a) = \tanh a$

\Downarrow

$M = N \mu_B \tanh a$

$B_{J \rightarrow \infty}(a) = \coth a - \lim_{J \rightarrow \infty} \frac{1}{2J} \coth \frac{a}{2J}$
 $\frac{1}{2J}$

$B_{J \rightarrow \infty}(a) = \coth a - \frac{1}{a} = d(a)$

\rightarrow função de Langevin

$\cosh 2a = \cosh^2 a + \sinh^2 a$
 $\sinh 2a = 2 \sinh a \cosh a$
 $\coth 2a = \frac{1}{2} \left(\frac{\cosh a}{\sinh a} + \frac{\sinh a}{\cosh a} \right)$
 $= \frac{1}{2} (\coth a + \tanh a)$

$\lim_{J \rightarrow \infty} \coth \left(\frac{a}{2J} \right) = \lim_{x \rightarrow 0} \coth x$
 $= \lim_{x \rightarrow 0} \frac{e^x + e^{-x}}{e^x - e^{-x}} = \frac{2}{(1+x) - (1-x)}$
 $= \frac{1}{x} = \frac{2J}{a}$